

## تأثیر خصوصیات فیزیکی و شیمیایی رسوبات مارنی بر فرسایش و رسوبزایی آنها با استفاده از دستگاه شبیه ساز باران در منطقه لاتشور پاکدشت

خلیل رضایی<sup>۱</sup>، استادیار زمین شناسی، گروه زمین شناسی، دانشکده علوم زمین، دانشگاه خوارزمی، تهران، ایران.

دریافت مقاله: ۱۳۹۴/۱۱/۲۸ پذیرش نهایی: ۱۳۹۵/۰۵/۳۰

### چکیده

فرسایش یکی از پدیده های مخرب و پیوسته ای است که نمی توان از آن جلوگیری کرد و فقط می توان با مطالعه خصوصیات شیمیایی و فیزیکی خاک، آنرا تا حدی کنترل نمود. مارن ها یکی از مهمترین واحدهای رسوبی در ایران می باشند که به لحاظ ویژگی های فیزیکی - شیمیایی از رسوبزایی و فرسایش پذیری زیادی برخوردار هستند. این خاصیت مارن ها سبب خسارات زیست محیطی و عمرانی زیادی شده و از این رو مطالعه فرسایش و رسوبزایی واحدهای مارنی ضروری می باشد. یکی از نکات مهم در مورد مارن ها ماهیت دانه بنده و عناصر موجود در آنها و تاثیر این دو موضوع در میزان فرسایش می باشد. در پژوهش حاضر به بررسی ویژگی های فیزیکی - شیمیایی واحدهای مارنی و تاثیر آن بر اشکال مختلف فرسایشی در منطقه لاتشور پاکدشت پرداخته شده است. بدین منظور علاوه بر نمونه برداری از رسوبات، آزمایش شبیه سازی باران (به کمک دستگاه شبیه ساز باران) در ۶ ایستگاه و در ۳ تکرار آزمایش بارش در شش واحد رسوبی منطقه بر اساس اشکال مختلف فرسایشی انجام شد و همزمان، از نمونه های خاک مجاور پلات برداشت شده و در آزمایشگاه میزان رواناب و رسوب تولید شده در هر نقطه در آزمایشگاه تفکیک و اندازه گیری شد. همچنین در آزمایشگاه تحت آزمایش دانه بنده و تعیین حدود آتربرگ قرار گرفته و علاوه بر آن پارامترهای اسیدیته، هدایت الکتریکی، میزان عناصر سدیم، پتانسیم، کلسیم، منیزیم، سدیم، گچ، کلر، یونهای نیترات، کربنات، سولفات، کربن آلی و CEC خاکها اندازه گیری گردید. در تجزیه و تحلیل داده ها از روش همبستگی پیرسون، اسپیرمن و مقایسه میانگین ها در نرم افزار آماری SPSS استفاده شده است. بر اساس نتایج تحلیل آماری اشکال مختلف فرسایشی از نظر میزان عناصر و دانه بنده، در میزان یون سدیم، سولفات و میزان درصد سیلت، دارای اختلاف معنی دار می باشند. بصورتیکه میزان میانگین یون سدیم و سولفات از فرسایش سطحی به فرسایش خندقی در مارن های منطقه افزایش یافته و میزان میانگین درصد رس از فرسایش سطحی به فرسایش خندقی کاهش و میزان سیلت افزایش می یابد. نهایتاً چهار متغیر یون سدیم، هدایت الکتریکی یا EC، سولفات و درصد سیلت نمونه ها را می توان عواملی تاثیرگذار در توسعه فرسایش و ایجاد اشکال مختلف فرسایشی در مارن های منطقه دانست.

واژگان کلیدی: فرسایش، مارن، ویژگی های فیزیکی و شیمیایی، شبیه ساز باران، لاتشور.

۱. نویسنده مسئول:

Email: Khalil.rezaei@khu.ac.ir

## مقدمه

یکی از معضلات و مخاطرات طبیعی بزرگ امروز کشورمان فرسایش خاک است که متأسفانه بدلیل حجم بالای خاکهای نابوده شده رتبه اول در خاور میانه و رتبه سوم جهانی را برای ایران در نظر گرفته است. این پدیده باعث پر شدن دریاچه‌ها، مخازن سدها و کاهش عمر مفید و بهره وری آنها، وقوع سیلاب‌های مکرر، از بین رفتن زیرساخت‌ها، جاده‌ها و زمین‌های کشاورزی و آلوده شدن آب شرب، شده است (Rafahi, ۱۳۸۳، ۸). فرسایش به فرآیندی گفته می‌شود که طی آن ذرات خاک به کمک فرایند هوایی و یا فعالیتهای انسانی، از بستر اصلی خود جدا شده و به کمک یک عامل انتقال دهنده به مکانی دیگر حمل می‌شود. اگر چه عامل طبیعی فرسایش و حمل می‌تواند آب، باد یا یخچال می‌باشد (Cerdan et al., ۲۰۰۷؛ Romero-Diaz et al., ۲۰۱۰).

سازندهای زمین‌شناسی، اقلیم، شیب توبوگرافی، کاربری اراضی، پوشش گیاهی و فعالیتهای انسانی است.

برای کنترل فرسایش خاک ابتدا می‌بایست رفتار آن را بدرستی شناخت چراکه فرسایش پذیری خاک تابعی از قابلیت جدا شدن ذرات خاک و انتقال آنها، و ماهیت فیزیکی و شیمیایی ذرات آن می‌باشد. در واقع هر خاصیتی از خاک که بتواند مانع جدا شدن ذرات خاک و انتقال آن شود، فرسایش پذیری خاک را کاهش می‌دهد (Rafahi, ۱۳۸۶، ۱۵). محققان متعددی سعی کرده‌اند بین میزان فرسایش پذیری خاک و خصوصیات مختلف آن ارتباط برقرار سازند. این مطالعات با دامنه وسیعی از روش‌ها، در خاک‌های متفاوت، شرایط اقلیمی و بروشهای مدیریت مختلف انجام شده است (حسن زاده نفوتی، ۱۳۸۳؛ García-Orenes et al., ۲۰۰۹؛ García-Orenes et al., ۲۰۱۱؛ Akgün & Türk, ۲۰۱۱؛ Vermang et al., ۲۰۱۵؛ Arthur et al., ۲۰۱۱؛ Katuwal et al., ۲۰۱۵؛ Akgün & Türk, ۲۰۱۱؛ ۲۰۱۳)؛ بعنوان یک روش، استفاده از دستگاههای شبیه ساز باران نیز بدلیل قابلیت فاکتورهای موثر در فرسایش، بطور روزافزونی در فرسایش مورد استفاده قرار می‌گیرد (Katuwal et al., ۲۰۱۱).

گوناگونی دستگاههای شبیه ساز باران با طراحیهای متنوعی ساخته شده و برای مطالعه فرسایش خاک مورد بهره برداری قرار گرفته است که از آن جمله می‌توان مطالعات حشمتی (۱۳۷۶)، قدیمی عروس محله (۱۳۷۷)، اسماعیل نژاد و همکاران (۱۳۸۶)، عالیخانی (۱۳۹۱)، حاتمیان (۱۳۹۰)، خدادادی (۱۳۹۴) را نام برد. در این مطالعات میزان تولید رواناب و رسوب با باران‌ساز مصنوعی اندازه‌گیری شده و همگی بیان داشته‌اند که واحدهای مارنی، فرسایش و رسوب بالایی نسبت به سایر واحدهای زمین‌شناسی تولید می‌کنند. (Grubin & Bryan, ۲۰۱۱، ۱۳۹۶). خاک‌های کائولینیتی بالاترین پایداری خاکدانه‌ها، کمترین میزان دیسپرسه شدن، کمترین میزان رواناب و در نتیجه کمترین ظرفیت حمل رسوب را دارند. در حالی که پایین‌ترین پایداری خاکدانه و بیشترین میزان رواناب در خاک‌های مونت‌موریلیونیتی مشاهده می‌شود (Wakindiki et al., ۲۰۰۲، ۶۰۱)؛ همچنین افزایش مقدار هدایت الکتریکی خاک نشانگر افزایش مواد قابل انحلال موجود در آن بوده و عاملی اساسی در شکل‌گیری و ایجاد آبکندهای جبهه‌ای به حساب می‌آید. بافت و کانی‌های خاک تاثیر اساسی بر پایداری خاکدانه‌ها دارند و بنابراین بر مقدار نفوذپذیری و از دست رفتن خاک، در هنگام بارندگی موثر هستند. خاک‌های با مواد آلی بیشتر، خاکدانه‌های بزرگتری تشکیل داده که این مقدار مواد آلی از یک طرف باعث پایداری بیشتر ساختمان خاک و از طرفی باعث افزایش خلل و فرج درشت در خاک شده که در نهایت ضریب آبگذری را افزایش می‌دهند و نهایتاً فرسایش‌پذیری کاهش می‌باید (Lado et al., ۲۰۰۴، ۲۳۹).

محل انتخاب شده برای این پژوهش، منطقه‌ی لاتشور، به علت نوع سازندهای موجود دچار فرسایش‌های زیادی می‌شود. بدیهی است با شناخت ویژگی‌ها و نوع فرسایش مارن‌ها می‌توان گام مؤثری در رابطه با کنترل فرسایش مناطق مارنی برداشت. همچنین با توجه به استقرار رودخانه لاتشور در منطقه‌ی پاکدشت و وجود زمین‌های مزروعی فراوان، می‌توان کمک زیادی به اقتصاد و محیط زیست منطقه و کاهش نابودی خاک زراعی نمود.

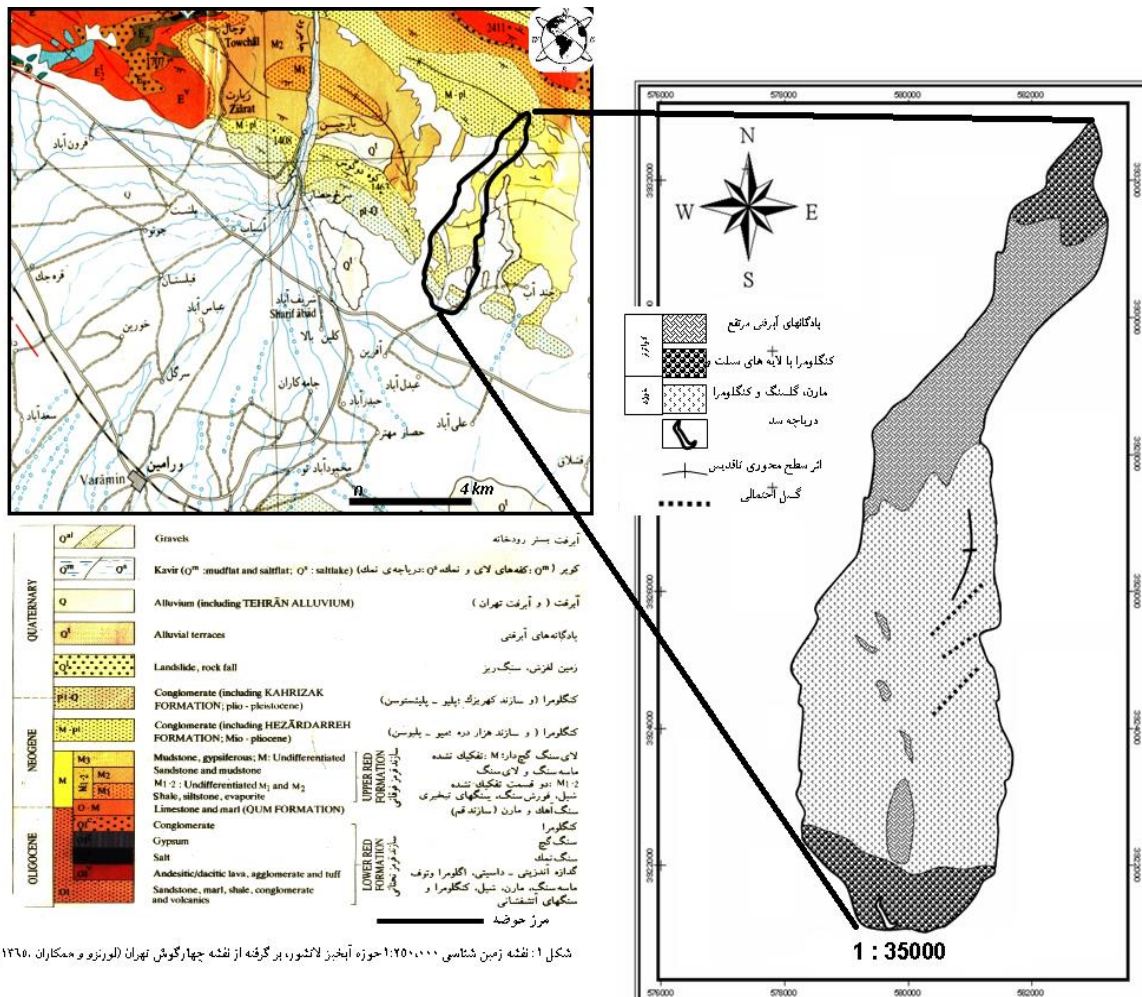
### داده ها و روش کار

حوزه آبخیز رودخانه لاتشور به عنوان جزئی از حوزه آبخیز کویر مرکزی ایران، در استان تهران و در شمال شرق شهرستان پاکدشت واقع گردیده است. حوضه آبخیز لاتشور جزیی از زون البرز مرکزی جنوبی و بخشی از حوضه آبخیز کویر مرکزی محسوب می‌شود. این حوضه در نقشه زمین‌شناسی ۱:۲۵۰۰۰۰ تهران و در ورقه‌های توپوگرافی ۱:۲۵۰۰۰ چنداب و ورامین واقع شده است. مساحت حوضه ۲۲/۲ کیلومتر مربع و محیط آن ۲۸/۴ کیلومتر بوده و در محدوده جغرافیایی ۵۱° تا ۵۵° طول شرقی و ۳۵° تا ۴۵° عرض شمالی قرار دارد(شکل ۱). مساحت حوضه یکی از مهمترین خصوصیات فیزیکی حوضه بوده و با مقدار دبی سیلان و حجم رواناب حوضه ارتباط مستقیم دارد، و عکس العمل حوضه آبخیز در برابر نژولات جوی تابع وسعت، شیب، میزان نفوذپذیری و شکل حوضه می‌باشد. مشخصات حوضه کوچک لاتشور در جدول شماره ۱ آمده است.

از نظر زمین‌شناسی حوضه مذکور در محدوده انتقالی زون ساختاری البرز مرکزی در با ایران مرکزی قرار گرفته و واحدهای سنگی سازنده اصلی آن سازندهای قرمز بالای نئوژن، هزاردره و پادگانه‌های آبرفتی می‌باشند(شکل ۱). بطور کلی سازنده قرمز بالای دارای سه واحد M<sub>۱</sub>, M<sub>۲</sub>, M<sub>۳</sub> می‌باشد که در حوضه مورد مطالعه تنها دو واحد M<sub>۱</sub>, M<sub>۲</sub> رخمنون دارند. مطالعات ژئومورفولوژی نشان‌دهنده تشکیل این حوضه در یک ساختار تاقدیسی می‌باشد و از جنوب به کوههای دهانه و از شمال به کوههای قره آغاج ختم می‌گردد. روند چین خوردگی‌های موجود در حوضه و نوع سازندهای موجود نقشی بسیار اساسی در نحوه گسترش و شکل حوضه دارد. در شمال حوضه کوههای قره آغاج از جنس کنگلومرا می‌باشند، در غرب و جنوب‌غرب حوضه کنگلومرا هزاردره و در شرق و جنوب‌شرق حوضه رخمنون مارن واحد M<sub>۲</sub> قابل مشاهده می‌باشد. سیما و ویژگی‌های سنگ‌شناسی نهشته‌های منطقه لاتشور قابل قیاس با سازنده سرخ بالای در ایران مرکزی است و احتمال هم‌ارزی آن با مجموعه سازنده سرخ زیرین، سنگ آهک‌های قم و سازنده سرخ بالای وجود دارد. تغییرات سنی آنها از الیگوسن تا میوسن خواهد بود و در این حوضه، مارن‌های قرمز رنگ، سنگ آهک‌های مارنی و میان لایه‌های کنگلومرا مشاهده می‌شود که این واحدها گاهی حاوی گچ و نمک می‌باشند. در مرز تبدیل واحد M<sub>۲</sub> به M<sub>۳</sub> از تعداد و ضخامت لایه‌های ماسه سنگی کاسته می‌شود و تدریجاً واحد M<sub>۳</sub> به M<sub>۲</sub> تبدیل می‌گردد. واحد M<sub>۲</sub> ارتفاع بیشتری نسبت به واحد M<sub>۳</sub> دارد. یکی از دلایل آن حضور لایه‌های ماسه‌سنگ به عنوان یک لایه‌ی مقاوم روی بخش نا مقاوم مارنی است. اشکال متنوع ژئومورفولوژی نظیر مخروطهای آبرفتی، سدهای رسوبی، کانال‌ها، فرسایش آبراهه‌ای، هزاردره‌ای، خندقی، تراس‌های رودخانه‌ای (با ساخت رسوبی ایمپریکیشن)، و انواع حرکات توده‌ای در این حوضه مشاهده شده‌اند( تصاویر شکل ۲). در حوضه لاتشور- در رسوبات کواترنری اشکال پادگانه‌های آبرفتی کهن و جدید دیده می‌شود که بستر رودخانه نیز شامل اجزای ریزدانه سیلتی، رسی، به رنگ قرمز به همراه گراول است.

جدول ۱: مقادیر ضرایب مختلف شکل حوزه آبخیز لاتشور

نام حوضه	مساحت Km <sup>۲</sup>	محیط Km	ارتفاع متوسط	شیب متوسط درصد	طول آبراهه اصلی Km	بلندترین طول آبراهه Km	طول Km	عرض Km
لاتشور	۲۲/۲	۲۸/۴	۱۳۴۷/۹۲۸	۲۲/۷۸	۱۲/۶۸	۱۳/۶۸	۱۲/۴۱	۱/۷۹



شکل ۱: نقشه زمین شناسی ۱:۲۰۱۰۰۰۰ حوزه آبخیز لانشو، برگرفته از نقشه جهادگویی تهران (لورتزو و مکاران ۱۳۹۰)

شکل ۱: نقشه زمین شناسی منطقه مورد مطالعه و حوضه آبخیز لاتشور

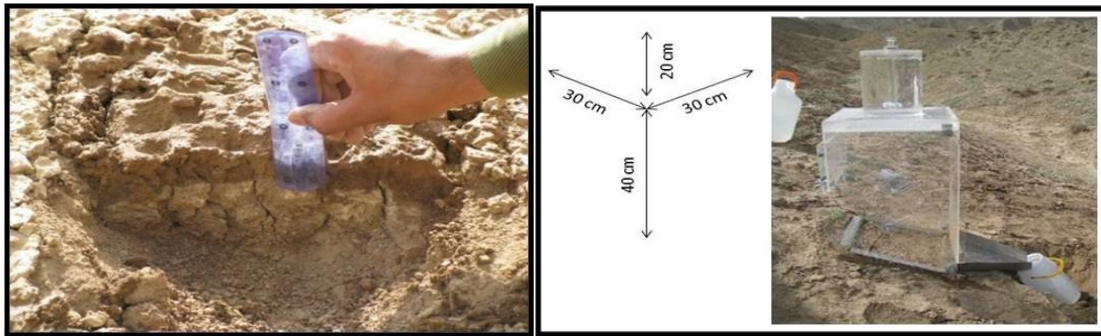
در خروجی حوضه لاتشور رسوبات آبرفتی کanal رودخانه عمده‌اً از جنس سنگدانه‌های توفی سبز کرج همراه با سنگ‌های ولکانیکی از نوع آندزیتی- ماسه‌سنگ و سنگ آهک می‌باشد. مارن‌های M<sub>2</sub> قرمز رنگ و در تناوب با ماسه‌سنگ است و فرسایش روی دامنه‌ها شیاری مشاهده شد و لایه‌های ماسه‌سنگ بصورت عدسی‌هایی به طول ۴۰ متر یا بیشتر در واحد سمت شمال اند شدند که بیانگر ساختار چین خورده تاقدیس است. مارن M<sub>2</sub> نخدودی رنگ و پست و هموار، که البه در داخل مارن‌های قرمز بالایی این واحد لکه‌های شور و قلیایی است که لکه‌های شور به صورت پوسته سفید رنگ و لکه‌های قلیایی به رنگ سیاه روی دامنه‌ها دیده شد. تیپ فرسایش این واحد شیاری از نوع پنجه‌ای و موازی می‌باشد. ماسه سنگ‌های واحد M<sub>3</sub> دارای سیمان آهکی است. انحلال آهک، اثر وزش باد و چرخش ذرات ماسه از یک طرف و حضور املاح نمکی از سوی دیگر سبب ایجاد حفراتی در سنگ‌ها می‌شود و می‌توان در آن‌ها پدیده‌ی کراس‌بیدینگ را مشاهده نمود. البته در این ماسه‌سنگ‌ها به تناوب ماسه‌سنگ‌های گراول‌دار و میکروکنگلومرا و عدسی‌های گلی هم در داخل واحدهای ماسه‌سنگی مشاهده شد. در مرز تبدیل واحد M<sub>2</sub> به M<sub>3</sub> از تعداد و ضخامت لایه‌های ماسه‌سنگی کاسته می‌شود و تدریجاً واحد

$M_۲$  به  $M_۳$  تبدیل می‌گردد. واحد  $M_۲$  ارتفاع بیشتری به  $M_۳$  دارد. یکی از دلایل آن حضور لایه‌های ماسه‌سنگ به عنوان یک لایه‌ی مقاوم روی بخش نامقاوم مارنی است.



شکل ۲: (بالا راست) رخنمون مارن‌های  $M_۳$  به رنگ نخودی و رخنمون کنگلومرای پلیوسن (بالا چپ) در شرق و جنوب شرق رخنمون واحد  $M_۲$  با تناب فراوان ماسه‌سنگ و مارن (پایین راست)، فرسایش ورقه‌ای و شیاری، و آثار پف کردگی (پایین چپ).

در این تحقیق در ابتدا، در مطالعات کتابخانه‌ای نقشه‌های زمین‌شناسی، توپوگرافی و ژئومورفولوژی منطقه جمع آوری و بررسی و نقاط نمونه برداری انتخاب شد. همچنین با مروری بر مقالات مشابه در ایران و جهان تلاش شد تا کمترین میزان خطا در برداشت‌های صحرایی هدف قرار گیرد. در بخش عملیات میدانی، در ابتدا در رخنمون سازندهای مختلف منطقه در ۶ ایستگاه و در ۳ تکرار آزمایش بارش، توسط شبیه ساز باران انجام شد تا در آزمایشگاه میزان رسوب و رواناب هر نقطه تعیین گردد. همزمان، از نمونه‌های خاک مجاور پلات برداشت شده و سپس در آزمایشگاه برای بخش خصوصیات فیزیکی تحت آزمایش دانه بندی و تعیین حدود آتربرگ (شکل ۴) و برای بخش خصوصیات شیمیایی تحت آنالیزهای تعیین اسیدیته، هدایت الکتریکی، میزان کانیونها و آنیونهای اصلی (شکل ۶)، قرار گرفت. از ۴ واحد رسوبی برداشت شده در منطقه پس از برداشت نمونه‌ها در صحرا، در آزمایشگاه از هر واحد دو نمونه مربوط به دو رخنمون انتخاب شد. نمونه‌های ۲۱ و ۲۲ مربوط به واحد  $M_۳$  (مارنی اول)، نمونه‌های ۴۰ و ۴۱ مربوط به واحد  $M_۲$  (مارنی دوم)، نمونه‌های ۵۶ و ۵۷ مربوط به کنگلومرای هزاردره (غیرمارنی اول) و نمونه‌های ۷۸ و ۷۹ مربوط به آبرفت‌های دشت پایین دست حوضه (غیر مارنی دوم) بوده اند. در انتها با انجام آنالیزهای آماری و تحلیل نتایج روابط و فرمولهای مربوط بین کلیه پارامترهای اندازه گیری شده بدست آمد.



شکل ۳: نمایی از شبیه‌ساز باران مورد استفاده و ابعاد آن (راست) اندازه‌گیری عمق نفوذآب بارش در خاک (چپ).

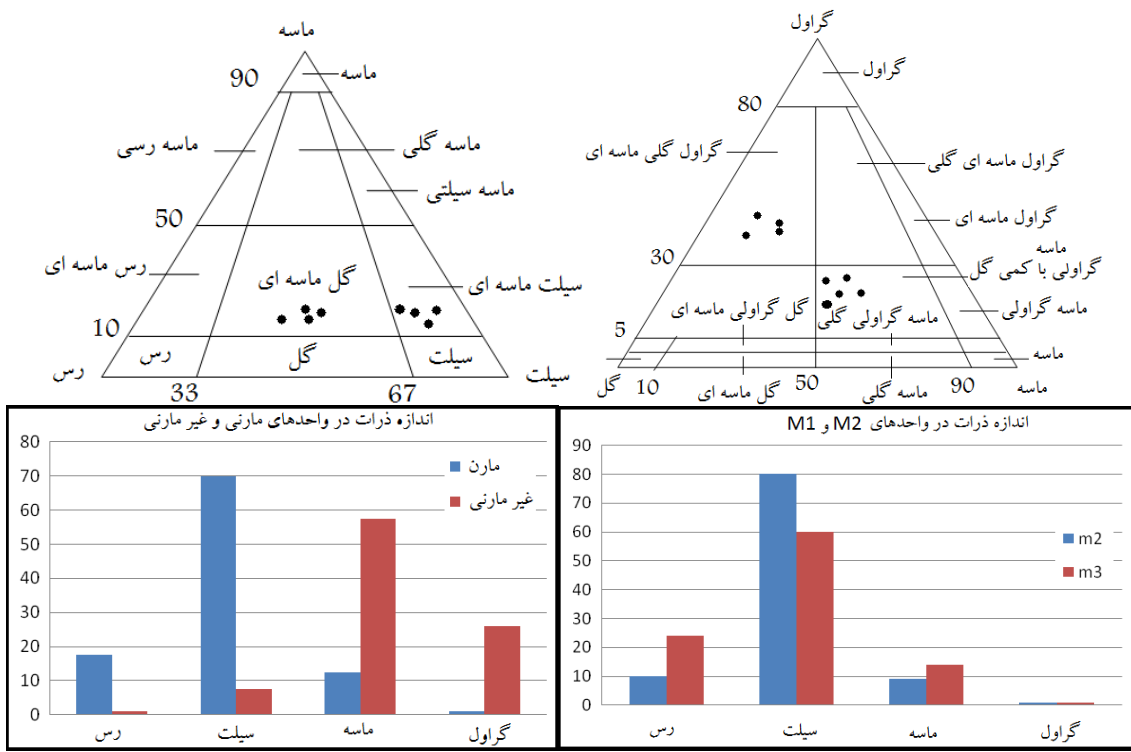
در منطقه لاتشور از دیدگاه بافت رسوبات، واحد مارنی  $M^3$  دارای  $10$  درصد رس،  $80$  درصد ماسه، و  $10$  درصد ماسه است. واحد  $M^2$  دارای تقریباً  $25$  درصد رس،  $60$  درصد سیلت،  $15$  درصد ماسه، واحد کنگلومرایی هزاردره دارای  $60$  درصد ماسه،  $40$  درصد گراول و رسوبات دشت پایین دست حوضه  $15$  درصد سیلت،  $55$  درصد ماسه و  $30$  درصد گراول است. در منحنی‌های دانه‌بندی واحدهای مارنی، رسوبات دارای جوشندگی بد و اغلب اندازه‌هایی در حد سیلت داشته و در گروه ریزدانه سیلت رسی و سیلت ماسه ای قرار می‌گیرند. میزان رس در نمونه‌ها کمتر از حد انتظار بوده و نامگذاری مارن بر روی برخی واحدها را با شک و تردید همراه نمود. حدود آتربرگ نیز حاکی از استقرار اغلب نمونه‌ها در محدوده CL,ML بوده و بین واحدهای کاری مختلف منطقه تمایز خوبی ایجاد می‌نماید.

## شرح و تفسیر نتایج

هدف این تحقیق بررسی تأثیر خصوصیات فیزیکی و شیمیایی مارنها بر میزان فرسایش پذیری آنها در منطقه لاتشور پاکدشت بوده است. از اینرو علاوه بر میزان انواع ذرات رسوبی (با اندازه‌های مختلف)، به میزان عناصر و پارامترهای شیمیایی نظری هدایت الکتریکی و اسیدیتی و میزان کاتیونهای قابل تبادل در هر نمونه تحت آزمایش نیز توجه شده است که در ادامه به تفصیل مورد بحث واقع شده اند.

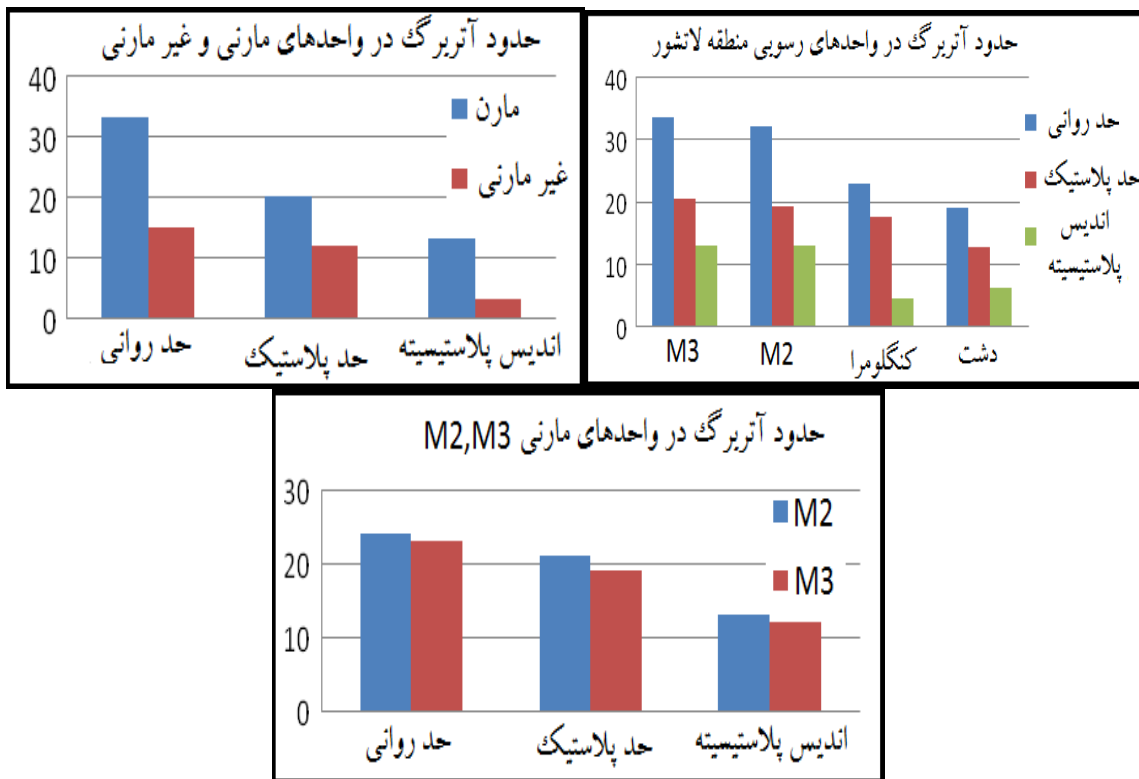
### - خصوصیات فیزیکی

باft خاک نشان دهنده درصد فراوانی نسبی ذرات ماسه، رس و سیلت و یکی از فاکتورهای مهم و مؤثر در ایجاد فرسایش و رسوب است (رضایی، ۱۳۹۲؛ Ownegh & Nohtani، ۲۰۰۴؛ Vahabi & Nikkami، ۲۰۰۸). به طور کلی خاک‌هایی که مقدار زیادی سیلت و مقدار کمی رس دارند فرسایش پذیرترین خاکها به شمار می‌روند و معمولاً باft سیلتی بیشترین حساسیت را به فرسایش دارد (Ownegh & Nohtani، ۲۰۰۴). خاک‌های سیلتی اگر چه معمولاً خوب دانه‌بندی می‌شوند ولی در اثر مرطوب شدن، خاکدانه‌ها به آسانی شکسته و ذرات سیلت جدا منتقل می‌شوند. براساس وزن، ذرات درشت تر مقاومت بیشتری و ذرات ریزتر در حد رس کمترین مقاومت در برابر فرسایش پذیری دارند، همچنین از نظر چسبندگی، حساسترین ذرات به فرسایش ذرات دارای قطر بین  $2$  تا  $200$  میکرون یعنی محدوده سیلت و ماسه ریز می‌باشد (خامه چیان، ۱۳۶۹؛ Sepaskhah & Shahabizad، ۲۰۱۰). چرا که این ذرات هم از نظر چسبندگی (مقاومت در برابر جدا شدن) و هم از نظر اندازه و وزن ( مقاومت در برابر حمل و انتقال) دارای حداقل شرایط می‌باشند.



شکل ۴: موقعیت نمونه ها در طبقه بندی فولک (۱۹۷۴) (بالا)، مقایسه اندازه ذرات واحدهای مارنی و غیرمارنی (پایین راست) میزان اندازه ذرات در واحدهای مارنی (M۲، M۳) (پایین چپ)

در منطقه مورد مطالعه، اندازه ذرات سازندهای  $M_2$  و  $M_3$  بیشتر به صورت سیلت، راس و ماسه می‌باشد و هرچه به سمت واحد کنگلومرای هزاردره و نهشته‌های آبرفتی می‌رویم، طبیعتاً اندازه ذرات بزرگ‌تر می‌شود (شکل ۴). میزان درصد سیلت در  $M_3$  بیشتر از واحد  $M_2$  می‌باشد (شکل ۴). بنابراین انتظار می‌رود واحد  $M_3$  فرسایش پذیری بیشتری داشته و رسوب بیشتری تولید کند. با مقایسه میزان تولید رسوب و روائب در هر واحد مشخص زمین شناسی با خصوصیات دانه بندی و بافت فیزیکی آن ممکن است بتوان ارتباطی بین نوع دانه بندی و فرسایش خاک برقرار نمود (Sepaskhah & Shahabizad, ۲۰۱۰). مطالعه بروی مارن‌های منطقه لاتشور نشان داد که اندازه ذرات می‌تواند نقش مهمی در میزان روائب و رسوب در یک منطقه داشته باشد. از سوی دیگر در زمین‌شناسی مهندسی خاک‌هایی که رفتار مشابهی از خود نشان می‌دهند را می‌توان در یک طبقه مهندسی خاک (طبقه‌بندی کاساگراند) قرار داد. در این تحقیق برای توصیف خواص مهندسی نمونه‌ها (خاصیت خمیری و دانه‌بندی) از سیستم طبقه بندی یونیفايد استفاده شده است (Memarian, ۱۹۹۵). پارامترهای لازم برای این طبقه‌بندی، آزمایش دانه‌بندی، حدّهای آتریگ و شاخص خمیری می‌باشد. بررسی نمونه‌های مورد مطالعه منطقه لاتشور نشان می‌دهد که این نمونه‌ها بیشتر در محدوده  $ML$  و  $CL$  قرار داشته، اکثراً ریز دانه بوده و حساسیت بسیار زیادی به فرسایش دارند. از نظر شاخص خمیری میزان خصوصیات مکانیکی (حد روانی و خمیری) در واحد  $M_3$  نسبت به واحد  $M_2$  بیشتر است و واحد  $M_2$  سست تر از واحد  $M_3$  می‌باشد و میزان عددی کمتری دارد (شکل ۵). واحدهای مارنی به دلیل دارا بودن اجزاء ریز دانه سیلت و راس، حد روانی و اندیس پلاستیسیته بالاتری را نسبت به واحدهای غیر مارنی نشان می‌دهند.

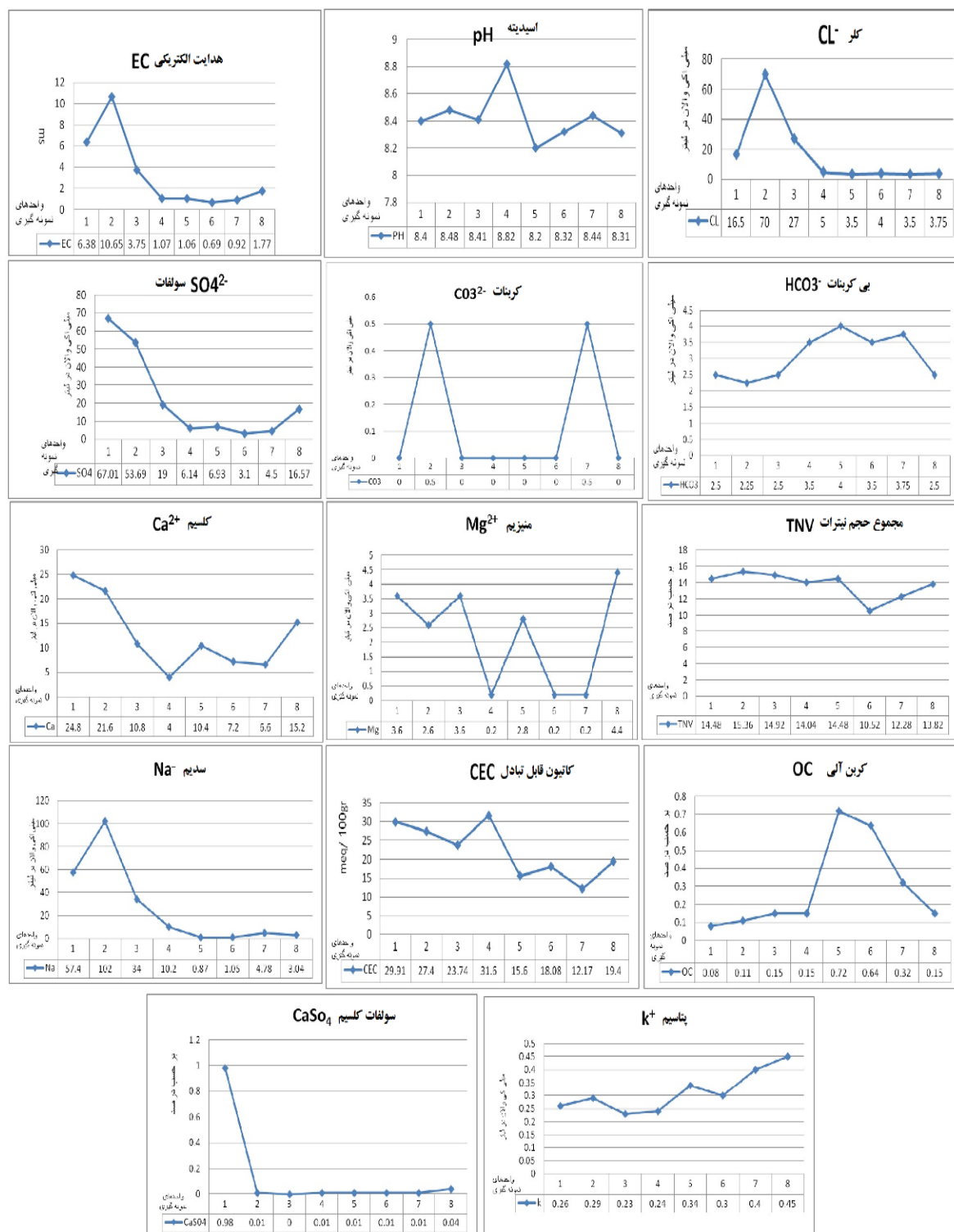


شکل ۵: میانگین حد روانی، حد خمیری و شاخص خمیری در کل واحدهای کاری(بالا راست)، در واحدهای مارنی و غیرمارنی(بالاچپ) در دو واحد مارنی حوزه آبخیز لاتشور (پایین)

#### - خصوصیات شیمیایی

همانطور که ذکر شد برای مطالعه خصوصیات رسوبات<sup>۴</sup> واحد رسوبی برداشت شده از منطقه پس از برداشت نمونه ها در صحراء، در آزمایشگاه از هر واحد دو نمونه مربوط به دو رخمنون انتخاب شد. نمونه های ۱ و ۲ مربوط به واحد M<sub>۳</sub> (مارنی اول)، نمونه های ۳ و ۴ مربوط به واحد M<sub>۲</sub> (مارنی دوم)، نمونه های ۵ و ۶ مربوط به کنگلومرای هزاردره (غیرمارنی اول) و نمونه های ۷ و ۸ مربوط به آبرفتها دشت پایین دست حوضه(غیر مارنی دوم) بوده اند(شکل ۶). همانطور که در شکل ۶ مشخص است میزان pH در واحد M<sub>۲</sub> بیشترین میزان می باشد. که هرچه به سمت واحد کنگلومرای هزاردره و پایین دست حوضه می رویم از میزان آن کاسته می شود. طبق این نمودار میزان هدایت الکتریکی در مارن ها بیشتر از واحدهای غیر مارنی می باشد. میزان pH در واحد M<sub>۲</sub> بیشترین میزان است و میزان اسیدیته در واحدهای مارنی بیشتر می باشد و فرسایش پذیری بیشتر این واحدها را نسبت به واحدهای غیر مارنی نشان می دهد. در واحد M<sub>۲</sub> و دشت پایین دست حوضه میزان CO<sub>3</sub><sup>-۲</sup> به یک اندازه می باشد. میزان SO<sub>4</sub><sup>-۲</sup> هرچه از واحد M<sub>۲</sub> به سمت پایین دست حوضه می رویم، کاسته می شود. میزان سولفات در واحدهای مارنی بیشتر از واحدهای غیر مارنی می باشد ولی در پایین دست حوضه میزان آن تا حد واحد M<sub>۲</sub> افزایش یافته است. در واحد M<sub>۲</sub> میزان یون کلر زیاد است هرچه به سمت واحد M<sub>۲</sub> و کنگلومرای هزار دره و دشت پایین دست حوضه کم می شود. نشان دهنده این است که میزان کلر در واحدهای مارنی بیشتر است. میزان HCO<sub>3</sub><sup>-</sup> در در واحد M<sub>۳</sub> کم است و به سمت واحد M<sub>۲</sub> بیشتر شده و در کنگلومرای هزار دره به بیشترین میزان خود می رسد و سرانجام در دشت پایین دست حوضه کمتر می شود. میزان یون کلسیم از واحد M<sub>۲</sub> به سمت واحد M<sub>۲</sub> کم می شود تا در این واحد به کمترین میزان خود می رسد و سپس شروع به افزایش می کند. میزان منیزیم از رابطه و قانون خاصی طبعتی نکرده است

و در واحدهای مختلف تغییرات زیادی داشته است. نمودار سدیم همانند نمودار کلر می‌باشد و از واحد  $M_2$  به واحد  $M_4$  در کنگلومرای هزاردره کم شده است. میزان TNV تقریباً ثابت بوده و تغییرات زیادی را نداشته و در تمام واحدهای مارنی یکسان است. میزان CEC از واحد  $M_2$  به سمت  $M_4$  کم شده و از واحد  $M_2$  به سمت کنگلومرای هزاردره و دشت پایین دست حوضه به صورت نامنظم کم و زیاد می‌شود. میزان پتانسیم از واحدهای مارنی به سمت واحدهای غیر مارنی منطقه افزایش یافته است. میزان کربن آلی از واحد  $M_2$  به سمت واحد  $M_4$  افزایش داشته و در این واحد بیشترین میزان است و به سمت پایین دست حوضه کم می‌شود. میزان  $\text{CaSO}_4$  در واحد  $M_2$  بیشترین حد و در سایر واحدها به میزان بسیار کم است. بدلیل تناوب لایه‌های مارن و ماسه سنگ در منطقه لاتشور، علاوه بر تفکیک مارنها، پارامترهای کانی شناسی، ترکیب ژئوشیمیایی و اندازه ذرات خاک و همچنین شیمی آب منفذی در دامنه‌های رو به جنوب و رو به شمال که بترتیب دارا و فاقد شواهد فرسایش می‌باشند نیز در این تحقیق مدنظر قرار گرفته‌اند. نکته مهم و قابل توجه این است که اندازه ذرات و کانی شناسی رسها توanalytic تفکیک نواحی شبیدار با درجات متفاوتی از فرسایش را دارا هستند. اصولاً فرسایش در فراوانی ذرات دانه ریز اتفاق می‌افتد. ریز بودن ذرات باعث کاهش نفوذپذیری شده و فرسایش و ایجاد رواناب را افزایش می‌دهد. بالعکس در سازندهای نفوذپذیر ذرات درشت تر بوده و علاوه بر امکان انتقال سیال، رواناب و فرسایش کمتری حادث می‌شود. فراوانی کانی‌های رسی در خاکها و فرایند خاکزایی متفاوت، گوناگون بوده و در شبیهای بدون فرسایش کانی‌های رسی مخلوط لایه زیاد شده و دیگر کانیها کاهش می‌یابند. بنابراین می‌توان شبیهای دارا و فاقد فرسایش را از هم تفکیک نمود. اسیدیته، نسبت جذب سدیم (SAR)، مجموع نمکهای محلول (TDS)، درصد سدیم (PS) از جمله این پارامترها می‌باشند. مطالعات متعددی نشان داده که TDS در شبیهای غیر فرسایشی در عمق خاک افزایش یافته اما در خاکهای فرسایشی حداقل TDS در عمق بسیار کمی قابل دسترسی است. بطور معمول خاکهای مارنی حساس به فرسایش، دارای مقادیر بالاتری از pH، SAR و PS بوده در حالیکه درصد سدیم قابل تبادل (ESP) در خاکهای فرسایش ناپذیر بیشتر است. پوسته رویی خاک مشابه خاکهای مقاوم عمل نموده و کمتر پخش و پراکنده می‌شوند. در واقع در هنگام هوازدگی کاهش شدیدی در میزان پارامترهای SAR، PS و ESP اتفاق می‌افتد. حداقل TDS با کاهش نفوذپذیری و اندازه ذرات همواره هماهنگ و همراه بوده‌اند. مقادیر SAR و نوسانات آن اهمیت بالایی در فرسایش خاک داشته و معرفی برای پخش و تلاشی خاک محسوب می‌شوند (Bouma & Imeson, ۲۰۰۰، ۱۶۱). در خاکهای این منطقه پارامترهای EC, Ph, CEC, کلر، سولفات، کلسیم، نیترات، سدیم، کربن آلی در واحدهای مارنی دارای فرسایش بیشتر بوده و در سوی مقابل یونهای بی‌کربنات و پتانسیم بیشتر بوده‌اند. یونهای منیزیم، کربنات و سولفات کلسیم نیز رابطه مشخص و معینی با نوع خاکها و فرسایش آنها نشان نداده‌اند.



شکل ۶: مقایسه میزان پارامترهای شیمیایی در واحدهای مارنی و غیر مارنی منطقه

### - روابط بین متغیرها

در انتهای با استفاده از مقادیر بدست آمده از آزمایشات مختلف فیزیکی و شیمیایی و در محیط نرم افزار SPSS اقدام به بررسی روابط بین متغیرهای با یکدیگر و ارتباط رسوب تولیدی و رواناب حاصله از هر نقطه با خصوصیات فیزیکوشیمیایی خاک برداشت شده گردید. در بررسی اولیه مشخص شد که دو واحد پر اهمیت مارنی رسوب‌زایی بیشتری داشته و از این‌رو در بررسی مجدد بیشتر داده‌های دو واحد مارنی برای تعیین چگونگی ارتباطات انتخاب شدند که نتایج در ادامه آمده‌اند. ابتدا تلاش شد تا رابطه‌ای بین کلیه پارامترهای اندازه گیری شده با هم و با میزان تولید رسوب و رواناب بررسی شود. همچنین فراوانی انواع فرسایش با هر کدام از این پارامترها با کمک تصاویر منطقه و موقعیت لندفرمها هم مورد ارزیابی قرار گرفت (جدول ۲ و شکل ۷). جدول ۲ به بررسی رابطه اندازه ذرات و میزان تولید رسوب و رواناب می‌پردازد. بطور خلاصه نتایج این بررسیهای آماری نشان داد اگر چه میزان رواناب با هیچکدام از خصوصیات فیزیکی ارتباط خیلی معناداری ندارد ولی میزان رسوب با میزان درصد ماسه و درصد گراول رابطه منفی و با میزان سیلت رابطه مثبت دارد. این وضعیت در مطالعات دیگر نیز به اثبات رسیده است (Ownegh & Nohtani, ۲۰۰۴). اگرچه میانگین میزان رسوب و حجم رواناب در واحد  $M^3$  با هیچکدام از عوامل خصوصیات فیزیکی رابطه ندارد. اما در واحد  $M^2$  میزان رواناب با میزان رسوب و درصد ماسه رابطه منفی دارد، یعنی با افزایش آن‌ها میزان حجم رواناب کم می‌شود. ولی از سوی دیگر حجم رواناب با میزان رس رابطه مثبت دارد و با افزایش درصد رس میزان حجم رواناب افزایش می‌یابد. همچنین میزان رسوب با حجم رواناب و درصد رس رابطه منفی داشته و با درصد ماسه رابطه مثبت دارد. زیرا هرچه ذرات تشکیل دهنده واحد سازنده ریزتر باشد قدرت چسبندگی بیشتر شده و میزان رواناب و رسوب کاهش می‌یابد و بالعکس. همچنین حد روانی و اندیس پلاستیسیته با میزان رسوب رابطه مثبت دارد ولی مشابه برخی تحقیقات گذشته (Nikkami et al., ۲۰۰۵) هیچکدام از عوامل فیزیکی با میزان رواناب رابطه ندارد. میانگین میزان رسوب در واحد  $M^3$  با حد روانی و اندیس پلاستیسیته رابطه مستقیم و با حد خمیری رابطه معکوس دارد. همچنین میزان رواناب در واحد  $M^3$  نیز با حد روانی و اندیس پلاستیسیته رابطه مثبت و با حد خمیری رابطه معکوس دارد و همچنین میزان رواناب واحد  $M^2$  با اندیس پلاستیسیته و حد روانی رابطه منفی و با حد خمیری رابطه مثبت دارد. طبق نتایج بدست آمده واحد  $M^3$  دارای ذرات درشت‌تری نسبت به واحد  $M^2$  بوده و قابلیت فرسایش‌پذیری بیشتری دارد. بنابراین مطابق بسیاری از مطالعات، بافت خاک یکی از عوامل مهم و موثر بر فرسایش‌پذیری خاک می‌باشد. مطالعات میر و هارمون (Meyer & Harmon, ۱۹۸۴, ۱۹۵۵) نشان داده خاک‌های با بافت ریز و چسبندگی زیاد به سختی از هم جدا می‌شوند ولی به راحتی انتقال می‌یابند. در مقابل، خاک‌های درشت بافت، راحت‌تر جدا شده ولی در انتقال مشکل داشته و رسوب کمتری نسبت به خاک‌های ریز ایجاد می‌کنند. عموماً خاک‌های سیلتی و لومی/سیلتی بسیار فرسایش‌پذیر و خاک‌های با رس زیاد دارای قابلیت فرسایش‌پذیری کمتری هستند. خاک‌های لومی و لومی/شنی فرسایش‌پذیری متوسط دارند. بر اساس نتایج دانه‌بندی ذرات مارن‌های منطقه بین اشکال مختلف فرسایشی در مقدار درصد گراول، ماسه، سیلت و رس اختلاف وجود دارد که تنها میزان درصد رس دارای اختلاف معنی‌دار است. میزان درصد رس در نمونه‌ها از اشکال فرسایشی سطحی به خندقی کاهش می‌یابد (جدول ۲). بنابراین می‌توان مقدار درصد رس را به عنوان عوامل تعیین کننده شدت و نوع فرسایش در مارن‌های منطقه لاتشور قلمداد کرد. نتایج مطالعات (Wichmeier et al., ۱۹۷۱, ۱۹۷۹, ۲۵۱؛ Luk, ۱۹۷۹, ۱۹۲) که به طور جداگانه

انجام شده‌اند، نشان می‌دهند که با افزایش میزان رس خاک، فرسایش‌پذیری کاهش و با افزایش سیلت، فرسایش‌پذیری خاک افزایش می‌یابد (حسن زاده نفوتی، ۱۳۸۳، ۱۷۱).

در بررسی ارتباط بین اشکال فرسایش با میزان عناصر می‌توان مشاهده نمود که حداقل مقدار یون کلسیم مربوط به فرسایش خنده‌ی است. بین میانگین مقدار یون کلسیم در اشکال مختلف فرسایشی، اختلاف وجود دارد اما با توجه به نتایج تجزیه متغیرها (جدول ۴) این اختلاف معنی‌دار نیست و می‌توان بخشی از آن را برای خطای آزمایش در نظر گرفت. همچنین مقادیر یون منیزیم در بین اشکال مختلف فرسایشی اختلاف معنی‌داری ندارند. یون‌های منیزیم نیز نقشی مانند سدیم داشته و در خاک‌هایی که غلظت آن نسبت به کلسیم بالا باشد (یا از طریق هوازدگی کانی‌های خاک آزاد شده یا از طریق افزایش دولومیت)، حالتی مثل خاک‌های سدیک به آنها خواهد داد. منیزیم در سایت‌های تبادلی، دیسپرسه شدن خاک را افزایش داده و در نتیجه منجر به ایجاد سله سطحی و کاهش رواناب می‌شود. علت این است که انرژی آبپوشی منیزیم به نسبت کلسیم کمتر بوده و در نتیجه ضخامت لایه آبپوشیده بیشتری دارد که باعث افزایش فاصله بین لایه‌های رس و کاهش نیروی الکترواستاتیک بین ذرات رس شده و منجر به دیسپرسه شدن می‌شود. هر چه میزان نسبت منیزیم به کلسیم در خاک‌ها افزایش یابد، میانگین وزنی قطر خاکدانه‌ها کاهش یافته و فرسایش و سله سطحی افزایش می‌یابد (Dontsova & Norton, ۲۰۰۱, ۴۵). مقدار یون پتانسیم حداقل مربوط به فرسایش آبراهه‌ای و مقدار حداکثر آن مربوط به فرسایش خنده‌ی بوده (جدول ۵) و هیچ اختلاف معنی‌داری بین اشکال مختلف فرسایش در مقدار یون پتانسیم وجود ندارد. در مورد یون سدیم، حداقل و حداکثر مقدار یون سدیم به ترتیب مربوط به فرسایش صفحه‌ای و خنده‌ی است. یون سدیم دارای یک روند افزایشی از فرسایش صفحه‌ای به خنده‌ی می‌باشد. بین تمام اشکال فرسایشی از نظر یون سدیم اختلاف معنی‌داری وجود دارد. بنابراین اینجا نیز می‌توان یون سدیم را به عنوان یک شاخص برای تفکیک اشکال مختلف فرسایشی قلمداد کرد (Bouma & Imeson, ۲۰۰۰, ۱۶۲; Vacher et al., ۲۰۰۴, ۱۵۱). مقدار میانگین نسبت جذبی سدیم در مارن‌های مور مطالعه دارای روند افزایشی از فرسایش صفحه‌ای به خنده‌ی است. بین همه اشکال فرسایشی در میزان نسبت جذب سدیم اختلاف معنی‌دار وجود دارد. بنابراین می‌توان مقدار نسبت جذب سدیم را نیز به عنوان عوامل تعیین کننده شدت و نوع فرسایش در مارن‌ها قلمداد کرد (قدیمی، Bouma & Imeson, ۲۰۰۰, ۱۶۳; ۹۲۵, ۱۳۷۸). بطور کلی در واحدهای مارنی اشکال فرسایشی مختلف دیده می‌شود ولی اشکال فرسایشی غالب در مارن‌های منطقه لاتشور از انواع فرسایش سطحی، آبراهه‌ای و خنده‌ی است. لذا بررسی‌های آماری بیشتر برای این سه فرسایش انجام شده است. پراکندگی داده‌ها به ویژه در مورد میزان یون سدیم، SAR و رس در اشکال مختلف فرسایشی وجود دارد.

جدول ۲: همبستگی بین میزان رسوب و حجم رواناب و اندازه ذرات در واحدهای مارنی و غیرمارنی

درصد گراول	درصد ماسه	درصد سیلت	درصد رس	میانگین میزان رسوب (gr)	میانگین حجم رواناب (cc)		
					۱	Pearson Correlation	میانگین حجم رواناب (cc)
						Sig. (۲-tailed)	
				۱	۵۸۷۰/-	Pearson Correlation	میانگین میزان رسوب (gr)
					۱۶۶۰/-	Sig. (۲-tailed)	
				۱	۶۶۹۰/-	Pearson Correlation	درصد رس
					۱۰۰۰/-	Sig. (۲-tailed)	
	۱		۶۸۲۰/-	۹۶۳(**).0/-	۶۰۹۰/-	Pearson Correlation	درصد سیلت
			.۶۳۰/-	...../-	۱۴۷۰/-	Sig. (۲-tailed)	
۱	-	-	۷۴۰(*).0/-	۹۳۲(**).0/-	۴۰۴۰/-	Pearson Correlation	درصد ماسه
	...../-	۰۳۶۰/-		۰۰۲۰/-	۳۶۹۰/-	Sig. (۲-tailed)	
۱	۸۳۶(**).0/-	-	۶۴۲۰/-	۸۹۶(**).0/-	۶۳۰۰/-	Pearson Correlation	درصد گراول
	.۱۰۰۰/-	۰۰۵۰/-	۰۸۶۰/-	۰۰۶۰/-	۱۲۹۰/-	Sig. (۲-tailed)	

برای پی بردن به این که پراکندگی زیاد متغیرها بین میانگین‌های هر گروه حاصل شناس و خطای نمونه‌گیری است یا حاصل یک تفاوت منظم، می‌توان از آنالیز تحلیل واریانس آنوا استفاده کرد. در این قسمت یک روش آماری جهت تحلیل اطلاعات آماری از یک طرح یک متغیری با دو یا بیش از دو جامعه مستقل ارائه می‌گردد. این روش تحلیل واریانس یک متغیری (ANOVA) نامیده می‌شود.

جدول ۳: همبستگی بین میزان رسوب و حجم رواناب و حدود آتبربگ در واحدهای مارنی و غیرمارنی

اندیس پلاستیسیته	حد خمیری	حد روانی	میانگین میزان رسوب (gr)	میانگین حجم رواناب (cc)		
				۱	Pearson Correlation	میانگین حجم رواناب (cc)
					Sig. (۲-tailed)	
			۱	۵۸۷۰/-	Pearson Correlation	میانگین میزان رسوب (gr)
				۱۶۶۰/-	Sig. (۲-tailed)	
		۱	۷۷۳(*).0/-	.۸۴۰/-	Pearson Correlation	حد روانی
				.۰۴۱۰/-	Sig. (۲-tailed)	
۱	۹۴۹(**).0/-		۵۶۱۰/-	۱۳۰۰/-	Pearson Correlation	حد خمیری
	...../-		۱۹۱۰/-	۷۸۱۰/-	Sig. (۲-tailed)	
۱	۷۴۵(*).0/-	۹۱۷(**).0/-	۹۲۵(**).0/-	۳۴۲۰/-	Pearson Correlation	اندیس پلاستیسیته
	.۰۳۴۰/-	۰۰۱۰/-	۰۰۳۰/-	۴۵۳۰/-	Sig. (۲-tailed)	

با استفاده از این روش می‌توان فرضیه‌های مربوط به وجود تفاوت بین میانگین‌های دو یا بیش از دو جمله را مورد آزمایش قرار داد (طالبی و پورکرمان، ۱۳۹۱،<sup>۴</sup>). افزایش میزان هدایت الکتریکی خاک، نشانگر افزایش مواد قابل انحلال موجود در آن می‌باشد. مقادیر زیاد هدایت الکتریکی در محلول خاک که بیشترین یون‌های تشکیل دهنده آن سدیم باشد، باعث انبساط شدید در خاک و دیسپرسه شدن آن می‌شود (Yilmaz et al., ۲۰۰۵، ۳۳). میانگین مقادیر میزان هدایت الکتریکی در نتایج بدست آمده از نمونه‌های منطقه دارای اختلاف است ولی این اختلاف خیلی معنی‌دار نمی‌باشد.

روش رگرسیون چند متغیره برای بدست آوردن روابط موجود بین گروهی از متغیرها در کلیه رشته‌های علوم کاربرد دارد. شکل کلی رگرسیون خطی چندمتغیره به صورت زیراست:  $Y = b_0 + b_1 Y_1 + b_2 Y_2 + \dots + b_n Y_n + e$  که در آن:  $Y$ : متغیر وابسته،  $Y_n$ : متغیرهای مستقل،  $b_n$ : ضرایب رگرسیون و  $e$ : مؤلفه خطاست. بخش اولیه تجزیه تحلیل رگرسیونی چند متغیره، شامل گزینش متغیرهای متغیرهای شاملاً از روابط گزینش پیش روند، حذف پس روند و رگرسیون گام به گام استفاده می‌شود. روش گام به گام از ترکیب دو روش اول و دوم (پیش روند، حذف پس روند) بدست آمده و یکی از دقیق‌ترین روش‌های گزینش متغیرها می‌باشد (Terranova et al., ۲۰۰۹؛ Akgün & Türk, ۲۰۱۱). در این تحقیق از روش رگرسیون چند متغیره برای تعیین رابطه بین رسوب، رواناب (متغیرهای وابسته) با خصوصیات فیزیکی، شیمیایی و مکانیکی زیرواحدهای نئوژن (متغیرهای مستقل) استفاده شده است. معادلات رگرسیون حاصل از این مطالعه به شرح زیر می‌باشند:

$$\check{Y} = a + b_1 x_1 + b_2 x_2 + b_3 x_3 = 1217.810 + (-12.917 X_1) + 0.177 X_2 + (-11.341 X_3)$$

$$\check{Y} = a + b_1 x_1 + b_2 x_2 + b_3 x_3 = 117.428 + (-0.856 X_1) + (-1.003 X_2) + (-0.934 X_3)$$

$$\check{Y} = a + b_1 x_1 + b_2 x_2 + b_3 x_3 = 997.106 + (-17.817 X_1) + (25.810) X_2$$

$$\check{Y} = a + b_1 x_1 + b_2 x_2 + b_3 x_3 = 17.460 + (-1.415 X_1) + (7.529) X_2$$

طبق نتایج حاصل از معادلات رگرسیون فوق، بین عوامل فیزیکی با میزان رواناب ۸۹/۱ رابطه مستقیم وجود دارد. عوامل فیزیکی به تنهایی و بدون در نظر گرفتن سایر خصوصیات تعیین کننده میزان رواناب ۷۹/۴ درصد در میزان تولید رواناب نقش دارند. با توجه به ضریب استاندارد تفکیک رگرسیون، می‌توان نتیجه گرفت که بین درصد رس و درصد گراول با میزان رواناب رابطه منفی وجود دارد و بین درصد ماسه و میزان رواناب رابطه مثبت کمی وجود دارد. همچنین بین عوامل فیزیکی با میزان رسوب ۹۶/۴ رابطه مستقیم وجود دارد عوامل فیزیکی به تنهایی ۹۶/۲۶ درصد در تولید میزان رسوب نقش دارد. با توجه به ضریب استاندارد تفکیک رگرسیون، می‌توان نتیجه گرفت که بین درصد رس و درصد گراول و درصد ماسه با میزان رسوب رابطه منفی وجود دارد. طبق نتایج حاصل از رگرسیون بین عوامل مکانیکی با میزان رواناب ۶۶/۱ رابطه مستقیم وجود دارد و عوامل مکانیکی به تنهایی ۴۳/۷ درصد در میزان تولید رواناب نقش دارد. بین حد خمیری و میزان رواناب رابطه منفی و بین اندیس پلاستیسیته و میزان رواناب رابطه مثبت وجود دارد. بعلاوه بین عوامل مکانیکی با میزان رسوب ۹۴/۲ رابطه مستقیم وجود دارد و عوامل فیزیکی به تنهایی ۸۸/۸ درصد در تولید میزان رسوب نقش دارند. با توجه به ضریب استاندارد تفکیک رگرسیون، می‌توان نتیجه گرفت که بین حد خمیری و میزان رسوب رابطه منفی و بین اندیس پلاستیسیته و میزان رسوب رابطه مثبت وجود دارد. همانطور که می‌دانیم اگر اعداد همبستگی مثبت باشد رابطه بین مواد مستقیم است یعنی با افزایش یک ماده آن یکی ماده نیز افزایش می‌یابد. در جداول مشاهده می‌شود که بین EC با  $HCO_3^-$ ،  $Cl^-$  و  $Ca^{2+}$  رابطه مستقیمی وجود دارد. همچنین  $pH$  و  $CO_2$  با هیچکدام از عوامل مقایسه رابطه ای ندارند.

جدول ۴: ضریب همبستگی اسپیرمن جهت آزمون رابطه‌ی بین برخی متغیرهای شیمیایی

		EC	PH	CO <sup>۳</sup>	HCO <sup>۳</sup>	CL	SO <sup>۴</sup>	Ca
EC	Correlation Coefficient	.۱۰۰	.۲۸۶	.۱۲۶	-.۸۴۷**	.۷۷۸*	.۹۵۲**	.۷۸۶*
	Sig. (۲-tailed)	.	.۴۹۳	.۷۶۶	.۰۰۸	.۰۲۳	.۰۰۰	.۰۲۱
	N	۸	۸	۸	۸	۸	۸	۸
PH	Correlation Coefficient	.۲۸۶	.۱۰۰	.۵۰۴	-.۲۸۲	.۵۱۵	.۰۴۸	-.۲۶۲
	Sig. (۲-tailed)	.۴۹۳	.	.۲۰۳	.۴۹۸	.۱۹۲	.۹۱۱	.۵۳۱
	N	۸	۸	۸	۸	۸	۸	۸
CO <sup>۳</sup>	Correlation Coefficient	.۱۲۶	.۵۰۴	.۱۰۰	-.۱۳۰	.۰۶۳	.۰۰۰	.۰۰۰
	Sig. (۲-tailed)	.۷۶۶	.۲۰۳	.	.۷۵۹	.۸۸۱	.۱۰۰	.۱۰۰
	N	۸	۸	۸	۸	۸	۸	۸
HCO <sup>۳</sup>	Correlation Coefficient	-.۸۴۷**	-.۲۸۲	-.۱۳۰	.۱۰۰	-.۸۴۰**	-.۷۳۷*	-.۷۳۷*
	Sig. (۲-tailed)	.۰۰۸	.۴۹۸	.۷۵۹	.	.۰۰۹	.۰۳۷	.۰۳۷
	N	۸	۸	۸	۸	۸	۸	۸
CL	Correlation Coefficient	.۷۷۸*	.۵۱۵	.۰۶۳	-.۸۴۰**	.۱۰۰	.۶۴۷	.۵۰۳
	Sig. (۲-tailed)	.۰۲۳	.۱۹۲	.۸۸۱	.۰۰۹	.	.۰۸۳	.۲۰۴
	N	۸	۸	۸	۸	۸	۸	۸
SO <sup>۴</sup>	Correlation Coefficient	.۹۵۲**	.۰۴۸	.۰۰۰	-.۷۳۷*	.۶۴۷	.۱۰۰	.۸۸۱**
	Sig. (۲-tailed)	.۰۰۰	.۹۱۱	.۱۰۰	.۰۳۷	.۰۸۳	.	.۰۰۴
	N	۸	۸	۸	۸	۸	۸	۸

همچنین می‌توان طبق جدول HCO<sub>۳</sub> با SO<sub>۴</sub> و Ca، Cl، EC رابطه مستقیم با یکدیگر دارند. اما Cl تنها با HCO<sub>۳</sub> و SO<sub>۴</sub> با HCO<sub>۳</sub> و Ca و Ca و SO<sub>۴</sub> با یکدیگر رابطه مستقیم دارند. همچنین هیچکدام از عوامل بالا با یکدیگر رابطه معکوس ندارند. در جدول مشاهده می‌شود که CaSO<sub>۴</sub>، TNV، CEC، K، Mg با هیچ‌یک از عوامل رابطه‌ای ندارند. تنها Na و OC با یکدیگر رابطه مستقیم دارند. حد روانی، حد خمیری و وزن رسوب هیچگونه تأثیری بر یکدیگر ندارند.

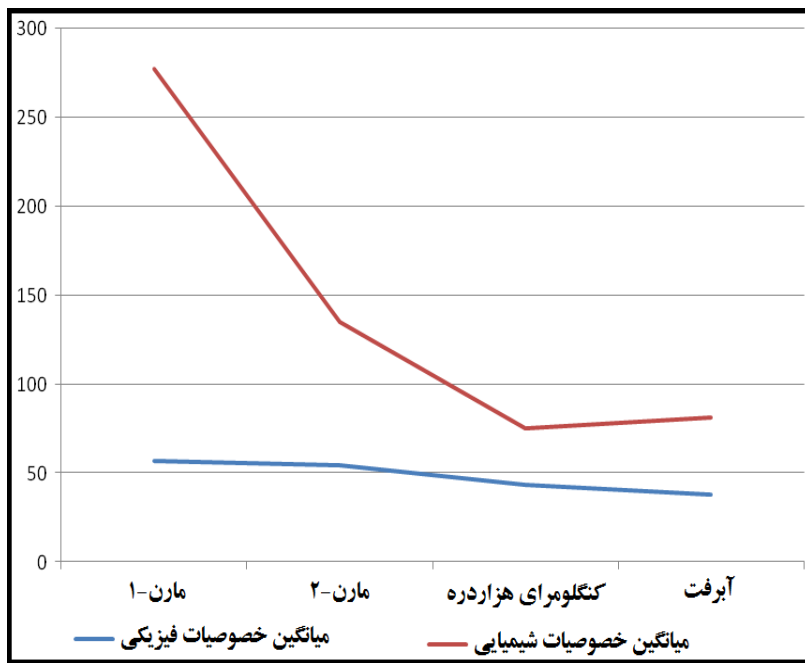
جدول ۵: همبستگی بین میزان رواناب و رسوب حاصله در کل واحدهای مارنی و غیر مارنی و شاخص‌های خصوصیات شیمیایی

		EC	PH	CO <sub>3</sub>	HCO <sub>3</sub>	CL	SO <sub>4</sub>	Ca	Mg	Na	K	CEC	TNV	OC	CaSO <sub>4</sub>
میزان رواناب و رسوب حاصله	مقدار R	.۴۲۰	-.۶۰۱	.۰۳۱	-.۶۴۷	.۳۰۰	.۴۹۶	.۷۲۸*	.۸۹۸**	.۳۳۰	.۴۴۹	-.۰۹۶	.۴۴۳	-.۲۹۳	.۲۵۸
	Sig. (۲-tailed)	.۲۸۸	.۱۱۵	.۹۴۱	.۰۸۳	.۴۷۱	.۲۱۱	.۰۴۱	.۰۰۲	.۴۲۵	.۲۶۴	.۸۲۱	.۲۷۲	.۴۸۱	.۵۳۸

جدول ۶: آمار توصیفی متغیرهای اصلی تحقیق

متغیرهای اصلی	میانگین	انحراف معیار	مینیمم	ماکزیمم
خصوصیات فیزیکی	۴۸.۶۰۸۶	۸.۹۵۷۰۱	۳۴.۴۹	۵۸.۲۶
خصوصیات شیمیایی	۱۳۱.۸۲۵۰	۹۴.۶۷۹۶۸	۵۷.۶۱	۳۱۴.۹۵
میزان رواناب و رسوب حاصله	۹۹۳.۹۴۸۳	۲۳۹.۶۹۴۸۵	۵۴۵.۰۲	۱۳۳۶.۳۷

نتایج آزمون ANOVA نیز نشان داد که بطور کلی خصوصیات فیزیکی در واحدهای مارنی مختلف، تفاوت معناداری دارند(جدول ۶). اگر میانگین کل خصوصیات فیزیکی و شیمیایی را با میزان تولید رسوب و رواناب حاصله در واحدها مقایسه کنیم (شکل ۷) می توان مشاهده نمود که واحدهای مارنی و فرسایش پذیر نسبت به واحدهای کنگلومرازی و آبرفتی مقادیر بالاتری را داشته و بهمین دلیل تنوع و وفور یونهای مختلف تمایل بیشتری به شرکت در واکنشهای مختلف هوازدگی و فرسایشی دارند.



شکل ۷: ارتباط میانگین خصوصیات فیزیکی و شیمیایی با میزان فرسایش در واحدهای مارنی و غیرمارنی منطقه مورد مطالعه

نتیجه گیری

این تحقیق با هدف بررسی رابطه خصوصیات فیزیکی و شیمیایی واحدهای رسوبی مختلف منطقه لاتشور با میزان فرسایش خاک و تولید رواناب در هر واحد انجام شده است. از دیدگاه خصوصیات فیزیکی رسوبات واحدهای مارنی منطقه دارای جورشدگی بد و اغلب اندازه‌هایی در حد سیلت دارند و اکثر نمونه‌ها در محدوده سیلت رسی و سیلت ماسه ای قرار می‌گیرند. اما میزان رس در نمونه‌ها کمتر از حد انتظار بوده و نامگذاری مارن بر روی برخی واحدها را با شک و تردید همراه نمود. پارامتر دانه بندی بخوبی واحدهای مختلف مارنی، رسوبات پایین دستی کواترنر و کنگلومراهی هزاردره را تفکیک می‌کند. حدود آتربرگ نیز حاکی از استقرار اغلب نمونه‌ها در محدوده CL,ML بوده و بین واحدهای کاری مختلف منطقه تمایز خوبی ایجاد نموده و با در نظر گرفتن میزان رواناب و رسوب می‌تواند دلیل بر فرسایش پذیری برخی واحدها محسوب گردد. در بین خصوصیات شیمیایی نیز میزان پارامترهای یونهای سدیم، سولفات، کلر، کاتیون قابل تبادل، هدایت الکتریکی، با فراوانی انواع لندرمهای فرسایشی رابطه مستقیم داشته و یونهای بی کربنات، پتانسیم رابطه ای معکوس داشته اند.

## منابع

- اسماعیل نژاد، لیلا، رمضانپور، حسن، شعبانپور، محمود. ۱۳۸۶. خواص فیزیکوشیمیایی و فیزیولوژیکی مارنهای و اثر آنها بر فرسایش خاک در جنوب استان گیلان، پایان نامه کارشناسی ارشد، دانشگاه گیلان، ۱۷۵ صفحه.
- حاتمیان، زهرا. ۱۳۹۰. استفاده از شبیه ساز باران در تشخیص میزان فرسایش پذیری مارنهای اشتهرد، پایان نامه کارشناسی ارشد رسوب شناسی دانشگاه آزاد اسلامی تهران شمال، استاد راهنمای: حمیدرضا پیروان، خلیل رضایی، ۱۴۰ صفحه.
- حسن زاده نفوتی، محمد. ۱۳۸۳. مطالعه ویژگیهای موئر بر فرسایش پذیری مارنهای رساله دکتری، دانشگاه آزاد اسلامی علوم و تحقیقات تهران، استاد راهنمای: حسن احمدی، ۱۹۰ صفحه.
- حشمتی، محمدحسن. ۱۳۷۶. خواص فیزیکی، شیمیایی، فرسایش پذیری و رسوبزایی سازندهای پابده، گچساران و آغازاری در ناحیه قصرشیرین، پایان نامه کارشناسی ارشد آبخیزداری، دانشگاه تهران، استاد راهنمای: ۱۸۵ صفحه.
- حامه چیان، محمد. ۱۳۶۹. بررسی خصوصیات فیزیکی و مکانیکی سنگهای مارنی و رسی، پایان نامه کارشناسی ارشد زمین شناسی مهندسی دانشگاه تربیت مدرس، استاد راهنمای: حسین معماریان، ۱۶۰ ص.
- خدادادی، ابوذر. ۱۳۹۳. بررسی مکانیسم و شاخصهای فرسایش پذیری مارنهای و نهشته های کواترنر لاتشور ساوه با استفاده از شبیه ساز باران، پایان نامه کارشناسی ارشد رسوب شناسی دانشگاه خوارزمی تهران، استاد راهنمای: خلیل رضایی و فرج افاضی، ۱۵۰ ص.
- دهقانی، نفیسه. ۱۳۹۲. مطالعه مکانیسم ها و شاخص فرسایش پذیری مارنهای سازنده قرمز بالای در حسن آباد جنوب تهران، پایان نامه کارشناسی ارشد رسوب شناسی، دانشگاه آزاد تهران شمال، استاد راهنمای: خلیل رضایی، ۱۴۵ صفحه.
- رضایی، خلیل. ۱۳۹۲. رسوب شناسی. انتشارات شینه، ۳۵۵ صفحه.
- Rafahi, Hesinqueh. ۱۳۸۶. فرسایش آبی و کنترل آن. چاپ سوم، انتشارات دانشگاه تهران، ۳۴۰ صفحه.
- ستایش، عبدالمتین. ۱۳۹۴. مکانیک حاک در مهندسی عمران. انتشارات دانشگاه تهران، ویرایش دوم، ۱۶۵ صفحه.

- عالیخانی، الهه. ۱۳۹۱. تعیین ساز و کارهای فرسایش خاک در حوضه آبخیز لاتشور با استفاده از شبیه ساز باران، پایان نامه کارشناسی ارشد رسوب شناسی، دانشگاه آزاد اسلامی تهران شمال، استاد راهنمای: حمیدرضا پیروان، خلیل رضایی، ۱۶۲ ص.
- قدیمی عروس محله، فردیون، پورمتین، علی، قدوسی. جواد، ۱۳۷۸، تأثیر خصوصیات فیزیکی و شیمیایی مارنها در ایجاد اشکال فرسایش، اولین کنفرانس زمین شناسی مهندسی و محیط زیست ایران، ۹۱۹-۹۲۹.
- طالبی، آیدا، پورکرمان، محمد. ۱۳۹۱. متغیرهای فیزیکی و شیمیایی مارنها و تأثیر آنها بر اشکال مختلف فرسایش در حبه طرود، هفتمین همایش زمین شناسی مهندسی و محیط زیست، دانشگاه صنعتی شاهروд.
- Akgün, A., & Türk, N. (۲۰۱۱). *Mapping erosion susceptibility by a multivariate statistical method: a case study from the Ayvalik region, NW Turkey*. Computers & Geosciences, ۳۷(۹), ۱۵۱۵-۱۵۲۴.
- Arenaz, J. (۲۰۰۶). Factors affecting runoff and erosion under simulated rainfall in Mediterranean vineyards. *Soil & Tillage Research*, ۱۲- ۱۳۲.
- Arthur, E., Cornelis, W. M., Vermang, J., & De Rocker, E. (۲۰۱۱). Effect of compost on erodibility of loamy sand under simulated rainfall. *Catena*, ۸۵(۱), ۶۷-۷۲.
- Bouma, N. A., & Imeson, A. C. (۲۰۰۰). Investigation of relationships between measured field indicators and erosion processes on badland surfaces at Petrer, Spain. *Journal of Catena*, ۴۰, ۱۴۷-۱۷۱.
- Burt, R. (۲۰۰۴). *Soil Survey Laboratory Methods Manual*. United States Department of Agriculture, Natural Resources Conservation Service, USA, ۷۰۰.
- Cerdan.O , Govers.G, Le Bissonnais.Y, Van Oost.K, Poesen.J, N. Saby, Gobin.A, Vacca.A, Quinton.J, Auerswald.K, Klik.K., Kwaad.F.J.P.M, Raclot.D, Ionita.I, Rejman .J, Rousseva.S, Muxart.T, Roxo.M.J, Dostal.T, ۲۰۱۰, *Soil Erosion Simulation*, journal Elsevier, *Geomorphology* ۱۲۲ (۲۰۱۰) ۱۶۷-۱۷۷.
- Dontsova, K. & Norton, L.D. (۲۰۰۱). Effects of exchangeable Ca:Mg ratio on soil clay flocculation, infiltration and erosion. National Soil Erosion Research Laboratory. USDA-ARS.
- García-Orenes, F., Cerdà, A., Mataix-Solera, J., Guerrero, C., Bodí, M. B., Arcenegui, V. & Sempere, J. G. (۲۰۰۹). Effects of agricultural management on surface soil properties and soil-water losses in eastern Spain. *Soil and Tillage Research*, ۱۰۶(۱), ۱۱۷-۱۲۳.
- Grubin, M. K. & Bryan, R. (۲۰۱۱). Clay mineralogy as a crucial factor in badland hillslope processes. *Geophysical Research Abstracts*, Vol. ۱۳, EGU, ۲۰۱۱-۱۳۹۶.
- Jin, K., Cornelis, W. M., Gabriels, D., Schiettecatte, W., Neve, S. D., Lu, J., Buysse, T., Wu, H., cal, D., Jin, J., & Harmann, R. (۲۰۰۸). Soil management effects on runoff and soil loss from field rainfall simulation. Vol, ۷۵. Issue۲, ۱۹۱-۱۹۹.
- Katuwal, S., Vermang, J., Cornelis, W. M., Gabriels, D., Moldrup, P., & de Jonge, L. W. (۲۰۱۳). Effect of root density on erosion and erodibility of a loamy soil under simulated rain. *Soil Science*, ۱۷۸(۱), ۲۹-۳۶.
- Lado, M., Paz, A., & Ben-Hur, M. (۲۰۰۴). Organic matter and aggregate size interactions in saturated hydraulic conductivity. *Soil Science Society American Journal*, ۶۸, ۲۳۴-۲۴۲.

- Luk, S. H. (۱۹۷۹). *Effect of soil properties on erosion by wash and splash*. Earth Surf. Processes and Landforms., Vol. ۴, ۲۴۱-۲۵۵.
- Memarian, H. (۱۹۹۵). *Engineering geology and Geotechnic*, Tehran University pub., ۹۸۶p.
- Meyer, L. D., & Harmon, W. C. (۱۹۸۴). Susceptibility of agricultural soil to interrill erosion. *Soil Sci Soc Am J*. Vol. ۴۸, PP ۱۱۵۲-۱۱۵۷.
- Nikkami D., Jafari Ardakani A., Bayat Movahed F., and Razmjoo P. (۲۰۰۵), *The effect of plough on rain-fed farm soil erosion. Proc. of international conference on human impacts on soil quality attributes, Isfahan, Iran*. International Journal of Sediment Research, Vol. ۲۲, No. ۴, ۲۰۰۸, pp. ۳۷۶-۳۸۶ (In Persian).
- Ownegh, M., & Nohtani, M. (۲۰۰۴, July). *Relationship between geomorphologic units and erosion and sediment yield in Kashidar watershed, Golestan Province, Iran*. In S. R. Raine, A. J. W. Biggs, N. W. Menzies, D. M. Freebairn, & P. E. Tolmie (Eds.), *Proceedings of ISC* (Vol. ۱۳).
- Page, A. L., Miller, R. H. & Keeney, D. R. (۱۹۸۲). *Methods of Soil Analysis Part ۱: Chemical and Microbiological Properties*. ۲nd ed., American Society Agronomy, Journal of Soil Science Society American, Madison, Wisconsin, USA. ۱۱۵۹.
- Rienks.S.M. & Both, J. (۲۰۰۰). *Some physical and chemical properties of sediment exposed in a gully in northern Kwazulu Natal, South Africa and their relation ship to the erodibility of the coluvial layers*. Catena. V. ۴۰, ۱۵۳- ۱۶۷.
- Romero-Díaz, A., Alonso-Sarriá, F., & Martínez-Lloris, M. (۲۰۰۷). *Erosion rates obtained from check-dam sedimentation (SE Spain)*. A multi-method comparison. *Catena*, ۷۱(۱), ۱۷۲-۱۷۸.
- Sepaskhah, A. R., & Shahabizad, V. (۲۰۱۰). *Effects of water quality and PAM application rate on the control of soil erosion, water infiltration and runoff for different soil textures measured in a rainfall simulator*. Biosystems engineering, ۹۰(۴), ۵۱۳-۵۲۰.
- Terranova, O., Antronico, L., Coscarelli, R., & Iaquinta, P. (۲۰۰۹). *Soil erosion risk scenarios in the Mediterranean environment using RUSLE and GIS: an application model for Calabria (southern Italy)*. *Geomorphology*, ۱۱۲(۳), ۲۲۸-۲۴۵.
- Vacher, C. A., Raine, S. R. & Loch, R. J. (۲۰۰۴). *Testing procedures to characterize tunneling risk on soil materials*. ۱۱th International Soil Conservation Organization Conference- Brisbane. July ۲۰۰۴ (ISCO).
- Vahabi, J., & Nikkami, D. (۲۰۰۸). *Assessing dominant factors affecting soil erosion using a portable rainfall simulator*. *International Journal of Sediment Research*, ۲۳(۴), ۳۷۶-۳۸۶.
- Vermang, J., Norton, L. D., Huang, C., Cornelis, W. M., da Silva, A. M., & Gabriels, D. (۲۰۱۵). *Characterization of Soil Surface Roughness Effects on Runoff and Soil Erosion Rates under Simulated Rainfall*. *Soil Science Society of America Journal*, ۷۹(۳), ۹۰۳-۹۱۶.
- Wakindiki, I. I. C., & Ben-Hur, M. (۲۰۰۷). *Soil mineralogy and texture effects on crust micromorphology, infiltration and erosion*. *Journal of Soil Science Society American*, ۶۹, ۵۹۷-۶۰۵.
- Wichmeier, W. H., Johnson, C. B., & Cross, B. V. (۱۹۷۱). *A Soil erodibility nomograph for farmland and construction sites*, J . *Soil and Water Conser*, Vol. ۲۶, ۱۸۹-۱۹۳.

Yilmaz, K., Eluk, U., Kapur, S., & Ryan, J. (۲۰۰۵). *Clay Minerals, Ca/Mg Ratio and Fe-Al-Oxides in Relation to Structural Stability, Hydraulic Conductivity and Soil Erosion in Southeastern Turkey*. Turk J Agric For ۲۹ (۲۰۰۵) ۲۹-۳۷.